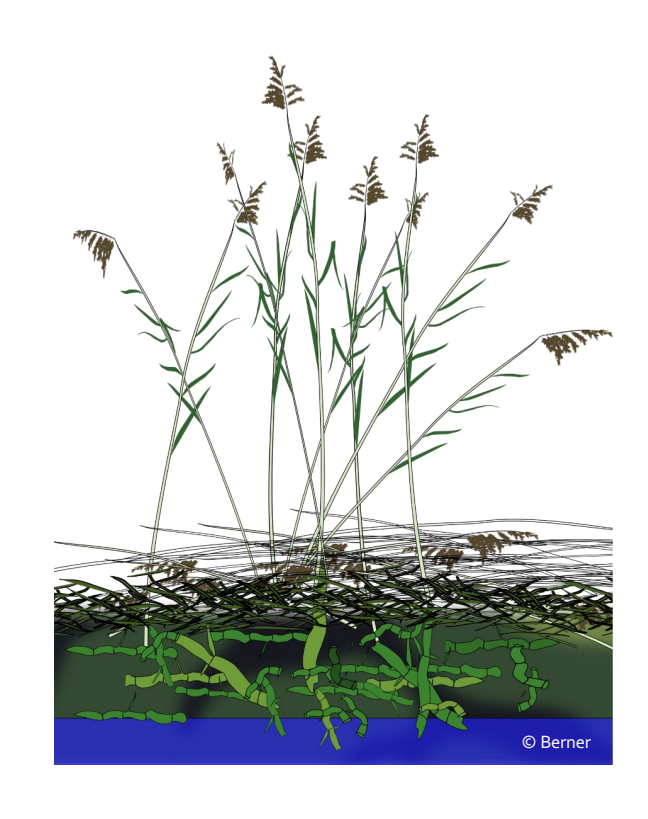
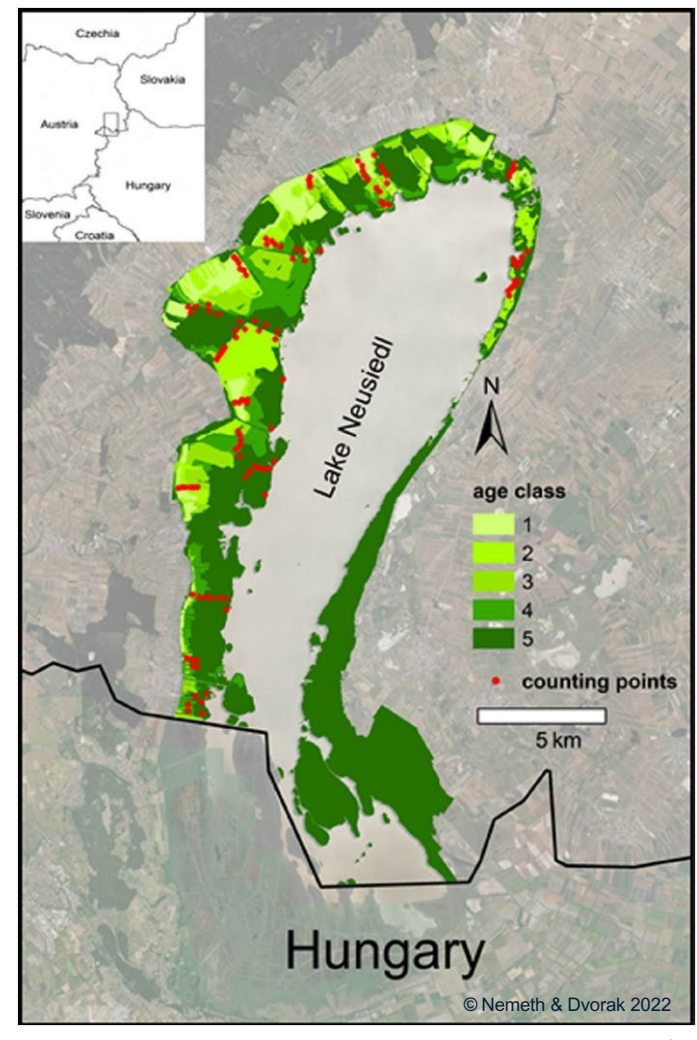




# Hintergrund

- · überaltertes Schilf
  - weniger stehende Vegetation → mehr Schilfmatten (Nemeth & Dvorak 2022)
  - mehr Wasserrückhaltung (Interceptionsverlust) (Muzylo et al. 2009)
  - mehr Sedimentation (Karstens et al. 2016)
- kleine Schilfvögel
  - mehr Altschilfspezialisten (Nemeth & Dvorak 2022)
  - weniger Jungschilfspezialisten









## Hintergrund

#### Bisherige & aktuelle Bewirtschaftung

- Schilfernte zur Verwendung als Baumaterialien
   → ab den 1960er Jahren weniger attraktiv
- sollte Grund-/Oberflächenwasser gefroren sein
   → kürzere Eisperioden aufgrund des
   Klimawandels (Soja et al. 2014)
- Mähfahrzeuge können Rhizome beschädigen
- früher wurde Brandrodung betrieben
   → seit 1993 verboten

### Vorgeschriebene Brandrodung

- fördert das Nachwachsen von Schilf (Link et al. 2024, Thompson & Shay 1985)
- Nachwachsen kann CO<sub>2</sub> Emission kompensieren (Dixon et al. 2019)
- keine negative Auswirkungen auf den Kohlenstoffgehalt des Bodens unter geeigneten Bedingungen, oft sogar steigend (Godwin et al. 2017, Mayor et al. 2016)
- reduziert die Brennlast in der Landschaft & führt zu mehr Rückzugsgebieten (Refugium) (Kreye et al. 2013, Zupo et al. 2022, Donovan et al. 2024)
- → Pilotstudie im Rahmen einer Feuerwehrübung





## Forschungsfragen

### Kontrolliertes Abbrennen als potenzielle Regenerationstechnik für Schilfbestände – eine Pilotstudie im Schilfgürtel des Neusiedler Sees

- Wie viel Biomasse und Kohlenstoff gingen durch das Feuer verloren? Aus welchen Schichten?
- Kann das erwartete Nachwachsen den Biomasseverlust ausgleichen?
- (3) Welchen Einfluss haben mikrotopografische Variationen in der Landschaft, insbesondere hinsichtlich der vertikalen Nähe zum Wasserspiegel, auf die Intensität des Feuers im Schilfgürtel?

#### Untersuchungsgebiet bei Jois im Januar 2024



© Berner et al. 2025

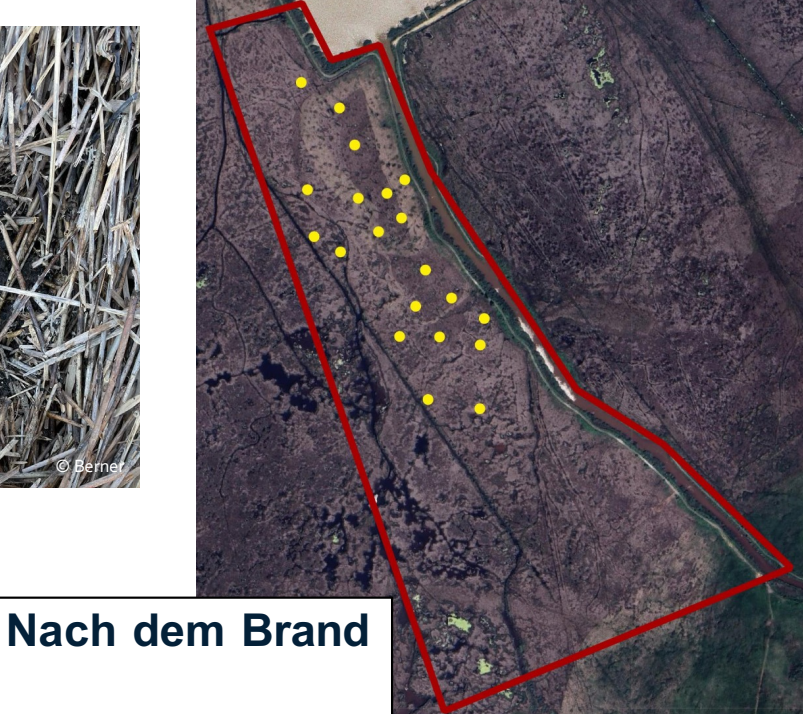


### Methodik

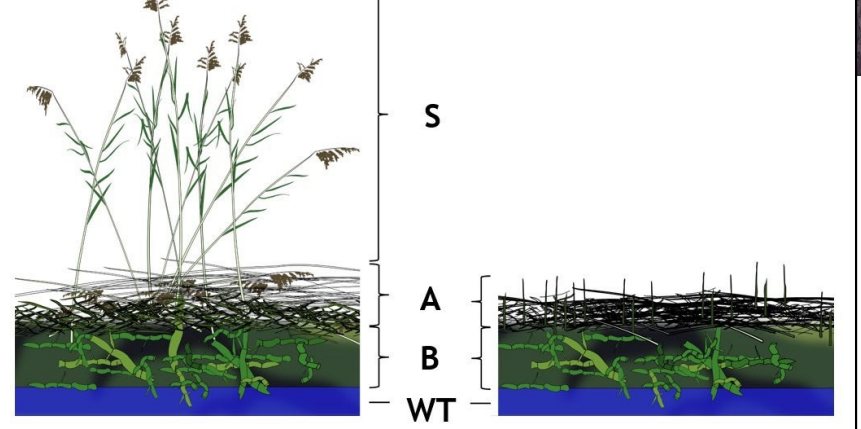
### **Boden- & Vegetationsprobenahmen**

- 20 Probenahmestellen
- 25 x 25 cm Probeflächen
- Messung Mächtigkeit jeder Schicht
  - S = stehendes (totes) Schilf
  - A = liegendes Schilf (Streuschicht)
  - B = Bodenschicht bis zum Wasserspiegel (WT)
- Laboranalysen
  - Trockensubstanz der Biomasse
  - Kohlenstoffgehalt





© Berner et al. 2025



Dr. Pamela Baur

Vor dem Brand



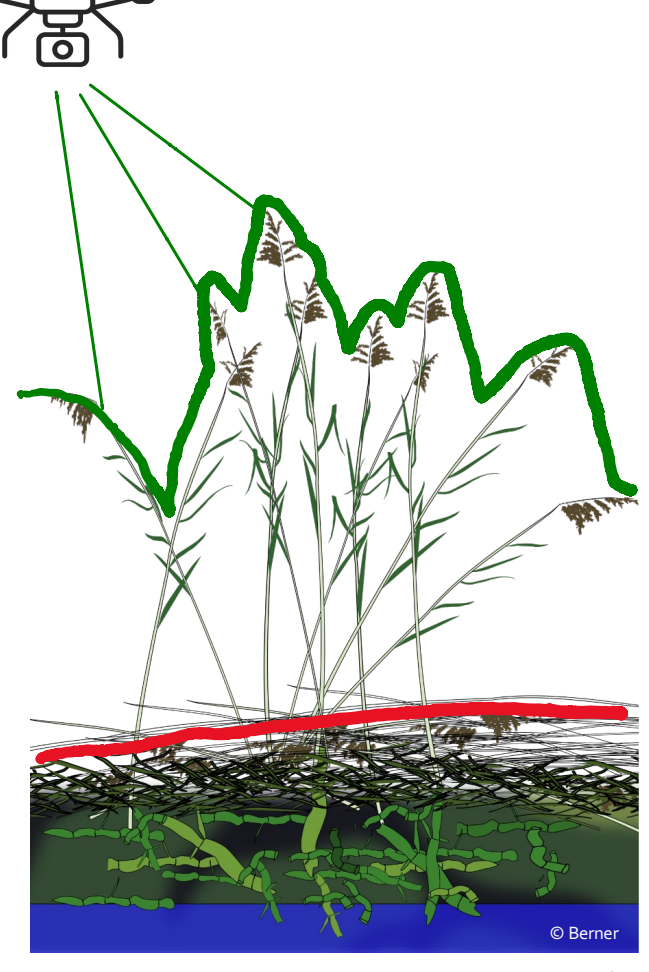
### Methodik

### Vegetationsuntersuchungen

- Feuchtegehalt des stehenden (S) & liegenden Schilfs (A)
  - > während & nach Brand bei unterschiedlichen Wetterbedingungen im Feld

#### Fernerkundung mittels Drohne

- RGB-Flüge
- · LiDAR-Flüge
  - > Digitales Geländemodell (DTM) vor & nach dem Brand
  - > Digitales Oberflächenmodell (DSM) vor & nach dem Brand
  - DWOM ( = Wasserspiegel)
  - > Vegetationshöhenmodell (DSM-DTM)

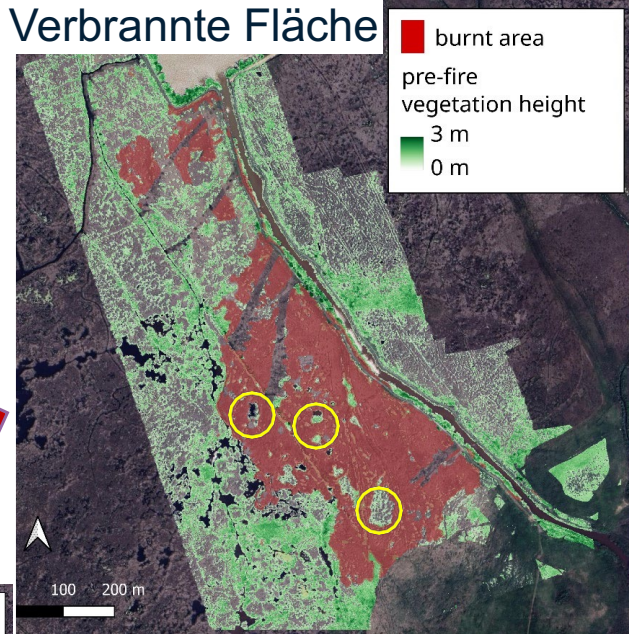




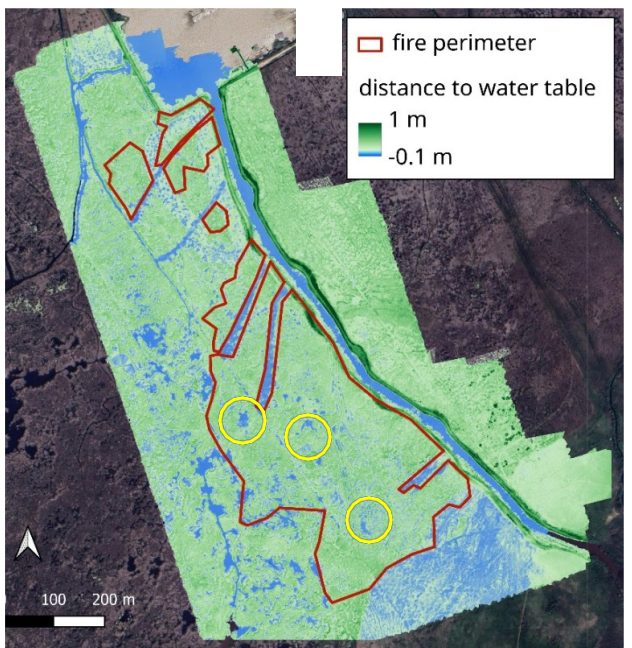


- 15.57 ha Brandfläche
  - > 11/20 Probenstandorte betroffen
- 17 % unverbrannt innerhalb des verbrannten Bereichs





#### Abstand zum Wasserspiegel vor dem Brand



© Berner et al. 2025



Dr. Pamela Baur

### Wie viel Biomasse und Kohlenstoff gingen durch das Feuer verloren? Aus welchen Schichten?

#### Mächtigkeit der Schichten

- S vollständig entfernt
- A Mächtigkeit um 30 % reduziert
  - → immer mindestens 6 cm übrig
- B "unbeeinträchtigt" durch Feuer
  - → Unterschiede durch
  - · gefrorenem Boden nur vor Brand
  - starke Heterogenität in der Fläche

Vor dem Brand	Nach dem Brand
	- S
	A B WT

© Berner et al. 2025

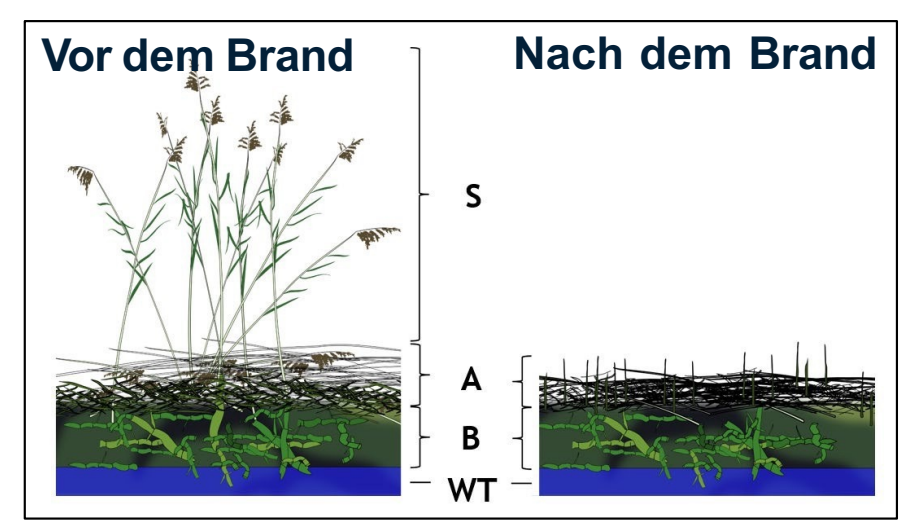
reduziert		Layer Thickness (cm)					
m übrig	Layer	Pre	Post 0				
ch Feuer	S	154.8					
		$\pm 52.0$	0				
r Brand	A	16.6	11.6				
		$\pm 8.6$	$\pm 5.4$				
r Fläche	В	13.5	16.9				
(Mittelwert ± Standardak	$\pm 9.7$	$\pm 3.5$					

Ergebnisse



Dr. Pamela Baur

### Wie viel Biomasse und Kohlenstoff gingen durch das Feuer verloren? Aus welchen Schichten?



© Berner et al. 2025

#### Biomasse der Schichten

•	S-	voll	stär	ndig	entfernt
---	----	------	------	------	----------

- A 297 g/m² entfernt
- B nicht vom Brand betroffen
- keine signifikanten Unterschiede vor/nach Brand bei A und B
  - > starke Heterogenität

gentfernt		Layer Th (cm)	nickness	Biomass (g/m²)			
entfernt	Layer	Pre	Post	Pre (n=11)	Post		
Brand betroffen		4840			0000		
anten	S	154.8	()	<b>482</b> (450)	0		
		$\pm 52.0$	()	$\pm 339 (306)$	0		
vor/nach Brand	A	16.6	11.6	<b>1851</b> (1737)	1554		
		$\pm 8.6$	$\pm 5.4$	$\pm 1132 (916)$	$\pm 502$		
genität	В	13.5	16.9	<b>5196</b> (5176)	5029		
( <b>Mittelwert</b> ± Standardaby	$\pm 9.7$	±3.5	±4267 (4124)	±2397			

#### Biomasseverlust (t/ha)

- S: -4.82
- A: -2.97
- B: -1.67
- Summe: -7.79 t/ha (bei 15.57 ha Brand → 121.29 t)





Methodik

Ergebnisse

17 Oktober 2025

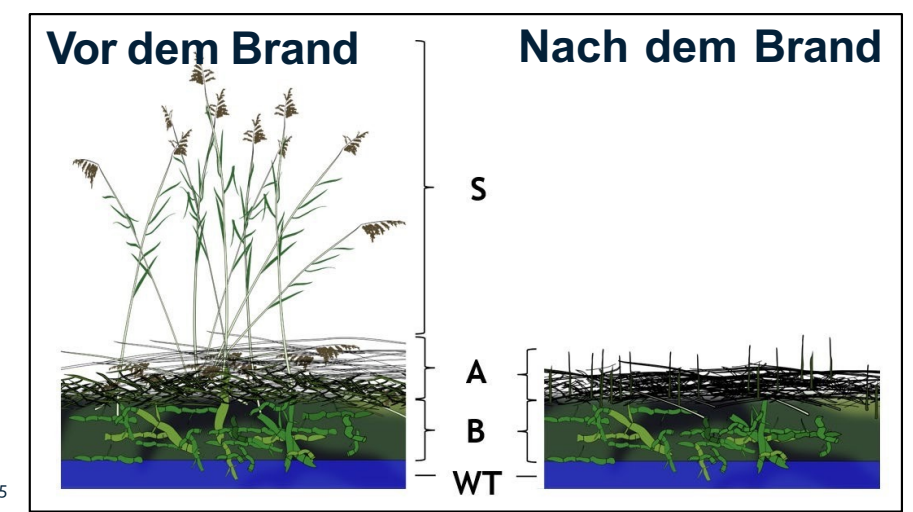


### Wie viel Biomasse und Kohlenstoff gingen durch das Feuer verloren? Aus welchen Schichten?

#### Kohlenstoffgehalt der Schichten

Hintergrund

© Berner et al. 2025



<ul> <li>S – vollständig entfernt</li> </ul>			Layer Thickness (cm)		Biomass (g/m²)		Carbon (%)		Carbon flux (t/ha)
•	A – leichter Anstieg								
•	B – leichter Anstieg	Layer	Pre	Post	Pre (n = 11)	Post	Pre	Post	
•	keine signifikanten	S	154.8	0	<b>482</b> (450)	0	51.1	0	-2.46
	Unterschiede vor/nach Brand		$\pm 52.0$	()	$\pm 339 (306)$	0	$\pm 1.6$	0	
	bei A und B	A	16.6	11.6	<b>1851</b> (1737)	1554	49.2	51.3	<b>– 1.14</b>
			$\pm 8.6$	$\pm 5.4$	$\pm 1132 (916)$	$\pm 502$	$\pm 4.3$	$\pm 1.0$	
	starke Heterogenität	В	13.5	16.9	<b>5196</b> (5176)	5029	37.2	38.2	-0.12
	( <b>Mittelwert</b> ± Standarda	bweichund	$\pm 9.7$	$\pm 3.5$	$\pm 4267 (4124)$	$\pm 2397$	±11.1	$\pm 9.9$	

Kohlenstoffverlust in Summe: -3.72 t C/ha (bei 15.57 ha Brand -> 57.92 t C)





> Forschungsfragen >

# Kann das erwartete Nachwachsen den Biomasseverlust ausgleichen?

- ➤ Biomasseverlust durch Brand: 482 g/m² (S) + 297 g/m² (A) = 779 g/m²
- ➤ Erwartetes Nachwachsen: 700–1700 g/m² pro Jahr oberirdische Biomasse (Papchenkov und Čížková 2024)
- > Verluste können voraussichtlich ausgeglichen werden
  - Mehr Platz für junge Triebe
  - Bessere Nährstoffverfügbarkeit (Alcañiz et al. 2018)



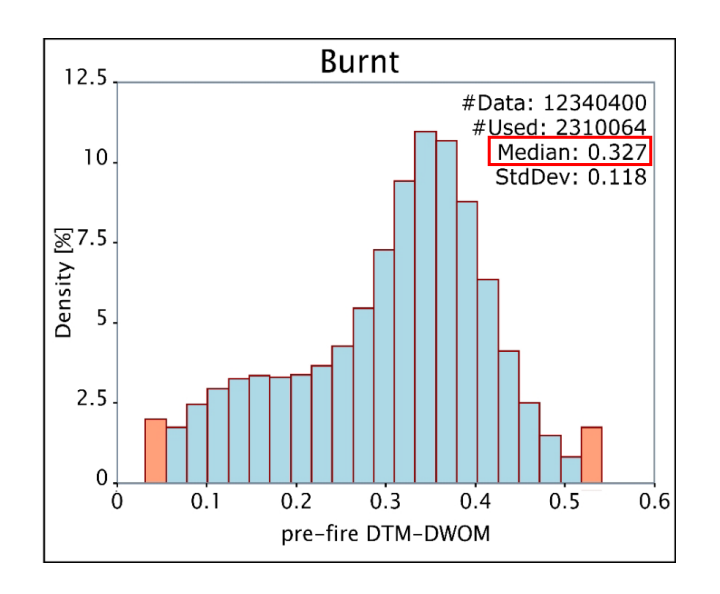


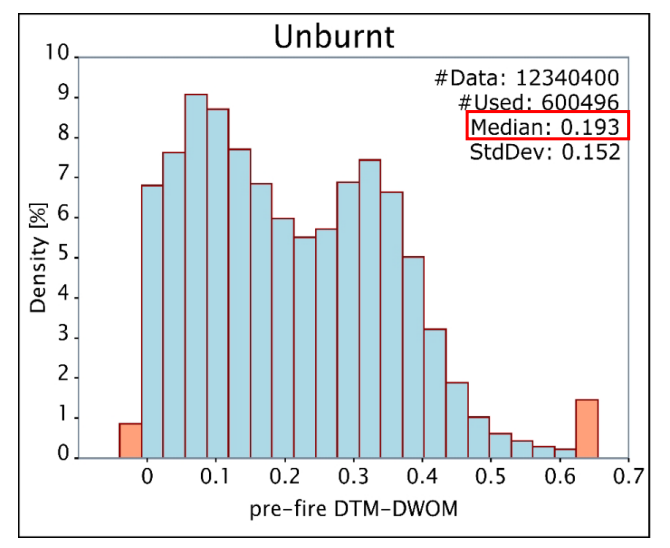


Welchen Einfluss haben mikrotopografische Variationen in der Landschaft, insbesondere hinsichtlich der vertikalen Nähe zum Wasserspiegel, auf die Intensität des des Feuers im Schilfgürtel?

Niedrigere Lage führt zu unverbrannten Flecken

- > Vertikale Nähe zum Wasserstand entscheidend
- Unverbrannte Flecken = Refugium
  - Habitatdiversifikation





© Berner et al. 2025

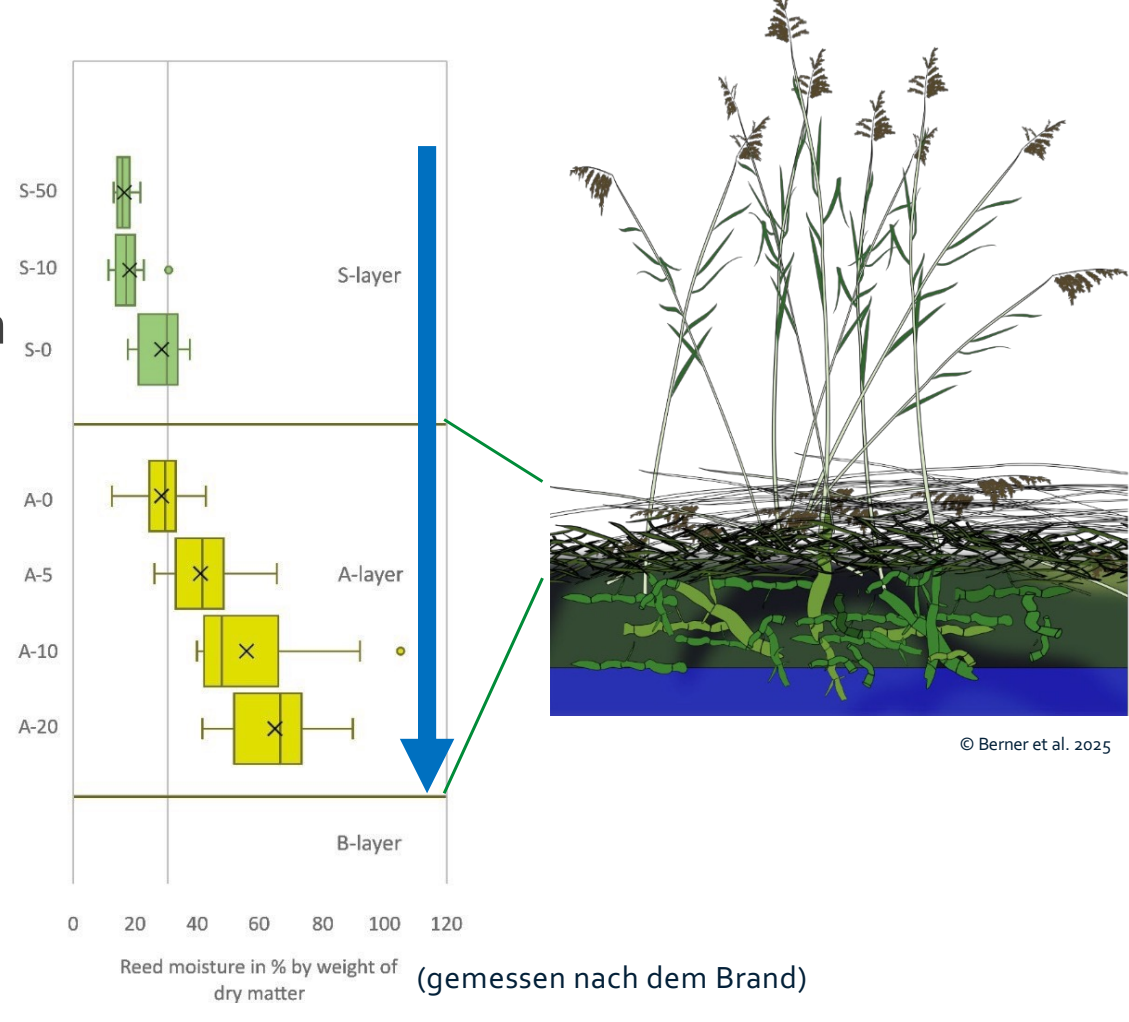


Dr. Pamela Baur

Welchen Einfluss haben
mikrotopografische Variationen in der s-10
Landschaft, insbesondere hinsichtlich s-0
der vertikalen Nähe zum
Wasserspiegel, auf die Intensität des des Feuers im Schilfgürtel?

### Feuchtegehalt des Schilfs

- steigt von oben (S) nach unten (A) an
- > 30 % hat feuerhemmende Wirkung







# Schlussfolgerung

Kontrolliertes Abbrennen als potenzielle Regenerationstechnik für Schilfbestände - eine Pilotstudie im Schilfgürtel des Neusiedler Sees

- Brand entfernte stehendes Schilf vollständig aber liegendes kaum
- Bodenschicht war bei Brand nicht betroffen
- Biomasseverlust vermutlich ausgleichbar
- Meteorologische Bedingungen beachten
- Feuchtemessungen empfohlen
- → Verjüngung noch unklar, gehört aber wissenschaftlich untersucht!

#### Disclaimer

Vorgeschriebene Brände haben in der Regel negative Auswirkungen, wie Luftverschmutzung, unbeabsichtigte Waldbrände, mögliche Bodendegradation, Schäden an nicht erfassten Arten oder Wildtieren.

Raffael Berner (raffael.berner@univie.ac.at) Pamela Baur (pamela.baur@univie.ac.at)



Dr. Pamela Baui

#### Referenzen

- Alcañiz M, Outeiro L, Francos M, Úbeda X (2018): Effects of prescribed fires on soil properties: A review. Science of the Total Environment, 613-614, 994-957. https://doi.org/10.1016/j.scitotenv.2017.09.144
- Berner R, Neumann M, Müller M, Hollaus M, Maier A, Zechmeister T, Glatzel S (2025): Prescribed burning as a potential regeneration technique for reed stands: a pilot study in the reed belt of Lake Neusiedl, Austria. Wetlands Ecology and Management, 33, 52. https://doi.org/10.1007/s11273-025-10063-2
- Dixon A, Robertson KM, Godwin DR (2019): An Introduction to Fire and Soil Carbon. Southern Fire Exchange, SFE Fact Sheet 2019-1, 4 p. https://southernfireexchange.org/wp-content/uploads/2019-1.pdf
- Donovan VM, Scholtz R, Wonkka CL (2024): Fire refugia patch dynamics differ between prescribed fires and wildfires in longleaf pine savanna. Forest Ecology and Management, 569, 122179.
   https://doi.org/10.1016/j.foreco.2024.122179
- Godwin DR, Kobziar LN, Robertson KM (2017): Effects of fire frequency and soil temperature on soil CO2 efflux rates in old-field pine-grassland forests. Forests, 8, 274. https://doi.org/10.3390/f8080274
- Karstens S, Jurasinski G, Glatzel S, Buczko U (2016): Dynamics of surface elevation and microtopography in different zones of a coastal *Phragmites* wetland. Ecological Engineering, 94, 152–163. https://doi.org/10.1016/j.ecoleng.2016.05.049
- Kreye JK, Kobziar LN, Zipperer WC (2013): Effects of fuel load and moisture content on fire behaviour and heating in masticated litter-dominated fuels. International Journal of Wildland Fire, 22, 440–445. https://doi.org/10.1071/WF12147
- Link NT, McLaughlin DL, Bush N, Wurster FC (2024): Phragmites-fire feedbacks: the influence of fire and disturbance-altered hydrology on the abundance of Phragmites australis. Biological Invasions, 26, 135—150. https://doi.org/10.1007/s10530-023-03163-8
- Mayor AG, Valdecantos A, Vellejo VR, Keizer JJ, Bloem J, Baeza J, Gonzalez-Pelayo O, Machado AI, de Ruiter PC (2016): Fire-induced woodland to shrubland transitions in Southern Europe may promote shifts in soil fertility. Science of the Total Environment, 573, 1232–1241. https://doi.org/10.1016/j.scitotenv.2016.03.243
- Muzylo A, Llorens P, Valente F, Keizer JJ, Domingo F, Gash JHC (2009): A review of rainfall interception modelling. Journal of Hydrology, 370, 191–206. https://doi.org/10.1016/j.jhydrol.2009.02.058
- Nemeth E, Dvorak M (2022): Reed die-back and conservation of small reed birds at Lake Neusiedl, Austria. Journal of Ornithology, 163, 683–693. https://doi.org/10.1007/s10336-022-01961-w
- Papchenkov V, Čížková H (2024): Variation in the Biomass of Phragmites australis Across Community Types in the Aquatic Habitats of the Middle Volga Valley. Diversity, 16, 644.
   https://doi.org/10.3390/d16100644
- Soja AM, Kutics K, Maracek K, Molnár G, Soja G (2014): Changes in ice phenology characteristics of two Central European steppe lakes from 1926 to 2012 influences of local weather and large scale oscillation patterns. Climatic Change, 126, 119–133. https://doi.org/10.1007/s10584-014-1199-8
- Thompson DJ, Shay JM (1985): The effects of fire on Phragmites australis in the Delta Marsh, Manitoba. Canadian Journal of Botany, 63, 1864–1869. https://doi.org/10.1139/b85-261
- Zupo T, Gorgone-Barbosa E, Ninno Rissi M, Daibes LF (2022): Experimental burns in an open savanna: Greater fuel loads result in hotter fires. Austral Ecology, 47, 1101—1112. https://doi.org/10.1111/aec.13202



